

# مدل‌سازی گسترش و پخش آلودگی‌های نفتی با روش احجام محدود در محیط‌های آبی

کوروش حجازی<sup>۱</sup>

احسان سرحدی‌زاده<sup>۱</sup>

(دریافت ۸۸/۱۲/۸ پذیرش ۸۹/۱۰/۸)

## چکیده

محیط زیست دریایی و مناطق ساحلی تحت تأثیر جدی تأسیسات صنعتی مستقر در نزدیکی ساحل و در مجاورت بنادر و نیز تأسیسات دریایی دور از ساحل هستند. علاوه بر این، ترددات معمول دریایی، ناوگان‌های تجاری و صنعتی نیز از عوامل تأثیرگذار بر محیط‌زیست منابع آبی دریایی محسوب می‌شوند. در این مقاله با توجه به وجود دو موز آبی بزرگ خلیج فارس و دریای عمان در جنوب و دریای خزر در شمال و نیز با توجه به اتکای جدی کشور به استخراج و صدور نفت بهخصوص از طریق ناوگان‌های دریایی و رشد و توسعه روزافزون صنایع پتروشیمی، چگونگی انتشار، گسترش و پخش لکه‌های نفتی و آلودگی‌های زیست‌محیطی ناشی از آنها مورد مطالعه قرار گرفت. آسیب‌های جدی زیست‌محیطی ناشی از صنایع پتروشیمی و نفتی خصوصاً در دوران جنگ خلیج فارس اهمیت توجه ویژه به این موضوع را بیشتر نمایان می‌کند. حرکت لکه نفتی، گسترش، پخش و آثار کیفی آن در محیط، با توسعه یک مدل عددی میانگین‌گیری شده در عمق و با استفاده از روش احجام محدود شبیه‌سازی شد. مدل توسعه داده شده، پارامترهای مؤثر در انتقال و پخش آلودگی‌های نفتی را در مدل مناسب پیش‌بینی جریان و انتقال لکه نفتی مورد استفاده قرار می‌دهد. با توجه به اینکه در پیدیده انتقال و پخش آلودگی نفتی، پخش‌های انتقال و پخش معادلات ناویر - استوکس نقش بسیار مهمی ایفا می‌کنند، انتخاب روش مناسب عددی در قسمت انتقال و پخش از اهمیت خاصی برخوردار است. در این مقاله برای جملات انتقال و پخش از الگوریتم باقت بالا با استفاده ازتابع شکل رویه و با فرض تغییرات درجه چهار در دو بعد استفاده شد که در مدل‌های مشابه دیده نمی‌شود. همچنین بهمنظور شبیه‌سازی پیدیده جزء و مده، جبهه ترو و خشک نیز در نظر گرفته شد. معادلات حاصل با استفاده از روش ضمنی با جهت متناوب حل شدند که ضمن اراضی دقت مناسب موردنظر، مجھولات با حل یک ماتریس پنج قطعی در هر گام زمانی بدست آمدند.

**واژه‌های کلیدی:** آلودگی نفتی، روش ضمنی با جهت متناوب، معادلات ناویر - استوکس، ماتریس پنج قطعی، روش احجام محدود (FVM)

## Dispersion Modeling of Oil Pollution with Finite Volume Method in Aquatic Environments

Ehsan Sarhadizadeh<sup>1</sup>

Kourosh Hejazi<sup>2</sup>

(Received Feb. 27, 2010 Accepted Dec. 29, 2010)

### Abstract

As long as oil is used, the risk of an oil spill exists. Rapid economic growth has caused a significant increase in fossil fuel consumption in recent decades. The world production of crude oil is about 3 billion tons per year and half of it is transported by sea. Exporting oil, especially via marine fleets and increasing development of petrochemical industry, marine system is exposed to severe environmental damages. The movement of oil spill, its diffusion and hydro-environmental effects have been simulated by developing a 2DH numerical model based on non-linear shallow water Reynolds averaged Navier-Stokes (RANS) equations using Finite Volume Method.

1. MSc. of Hydraulic and Civil Eng., Khajeh Nasir Toosi University of Tech., Tehran (Corresponding Author) (+98 21) 22028317 Sarhadi@ihr.ir

۱- کارشناس ارشد عمران - هیدرولیک، دانشگاه صنعتی خواجه نصیر طوسی، تهران (نویسنده مسئول) (۰۲۱) ۲۲۰۲۸۳۱۷ Sarhadi@ihr.ir

2. Assist Prof. of Hydraulic and Civil Eng., Khajeh Nasir Toosi University of Tech., Tehran

۲- استادیار عمران - هیدرولیک، دانشگاه خواجه نصیر طوسی، تهران

The new model deploys the relevant formulations for oil spill processes. Since advection and diffusion of oil pollution play a crucial role in oil spill flow pattern, it is important to choose an appropriate numerical scheme for the transport terms of N-E equations. In this work, a highly-accurate algorithm based on a 4<sup>th</sup> degree accurate shape function has been used for the hydrodynamic model, which is not present in similar models. The solution method is based on the alternating direction implicit (ADI) scheme. The equations are then solved by a Penta-Diagonal matrix in each half-time-step. Results from the numerical model are compared with measured values. Reasonable agreement is obtained between predicted and experimental nearshore circulation patterns.

**Keywords:** Oil Spill, Alternating Direction Implicit (ADI), Reynolds-Averaged Navier-Stokes Equations (RANS), Penta-Diagonal Matrix, Finite Volume Method (FVM).

### ۳- تبخیر و تجزیه ناشی از فرایندهای آب و هوایی

۴- انتشار قائم ناشی از شکست موج و آشفتگی لایه‌های فوقانی امروزه راههای ساده شده دهه‌های ۱۹۷۰ و ۱۹۸۰ هم در مدل‌سازی ریزش نفت معمول است. اولین و متداول‌ترین مدل برای محاسبه سطح لکه نفتی در سال ۱۹۶۹ از رابطه فی مشتق شده بود که از معادلات ناویر-استوکس میانگین‌گیری شده در لایه استفاده می‌کرد [۲]. با این وجود روش ساده فی، پارامترهای اصلی نفت و ستون آب را در بر نداشت. تکالیچ<sup>۴</sup> و چاؤ<sup>۵</sup> در سال ۲۰۰۱، نتایج مشابهی با استفاده از روش اولری<sup>۶</sup> به دست آورdenد [۳]. تکالیچ و چان<sup>۷</sup> در سال ۲۰۰۲ نظریه نیروهای غالب که بر شکل قطره و توزیع قائم تأثیر می‌گذارد را ارائه کردند که یک مدل حرکتی اختلاط قائم قطره نفت در اثر شکست موج را توسعه می‌دهد [۴]. مدل چند فازه ریزش نفت<sup>۸</sup>، به محاسبه پدیده‌های اصلی رفتار نفت در محیط زیست دریاها و بهویژه در خلیج سنگاپور پرداخته است [۵]. پریانز<sup>۹</sup> در سال ۲۰۰۷ یک مدل عددی ارائه داده است که در آن از روش تعقیب ذره<sup>۱۰</sup> استفاده شده است [۶]. از این مدل در تنگه گیرالتار<sup>۱۱</sup> (حد فاصل اسپانیا و مراکش) برای شبیه‌سازی استفاده شده است. همچنین یانگ و همکاران<sup>۱۲</sup> در سال ۲۰۰۸ یک مدل عددی را توسعه داده‌اند که در آن از تکنیک گام تصادفی<sup>۱۳</sup> به روش اولری-lagrangian<sup>۱۴</sup> استفاده شده است [۷]. در مطالعه حاضر هر دو بخش انتقال و پخش معادلات ناویر استوکس در مدل‌سازی در نظر گرفته شد در حالی که در اکثر مدل‌ها بخش انتقال بیشتر مورد توجه قرار می‌گیرد. در این مدل جبهه تر و خشک در نظر گرفته شدند و به این ترتیب پدیده جزر و مد در

### ۱- مقدمه

منابع آلوده کننده آب دریاهای نظریه پس‌ابهای صنعتی، زباله‌های شهری، تخلیه آب توازن<sup>۱</sup> و شستشوی کشتی‌ها به داخل دریا، نشت مواد نفتی ناشی از حوادث مربوط به نفتکش‌ها و سکوهای نفتی، زباله‌های اتمی، عوامل طبیعی نظیر طوفان‌ها، گرد و غبار و آتش‌شان‌ها، مواد زائد ناشی از ارگانیسم‌های دریایی و سایر منابع آلودگی آثار مخربی بر اکوسیستم دریایی به جای می‌گذارند. گسترش تدریجی این آلودگی‌ها به سواحل و جزایر، سبب بروز بیماری‌های مهلک و عوارض ژنتیکی بر روی انسان نیز می‌گردد. آلودگی‌های نفتی جزو سمی‌ترین و بادام‌ترین آلاینده‌های محیط‌های آبی و دریاهای بحساب می‌آیند که اثرات زیستمحیطی و بیولوژیکی بسیار مخرب و پایداری بر محیط زیست منطقه دارند. به طور کلی نفتی که در دریا پراکنده می‌شود، تحت تأثیر عوامل فیزیکی، شیمیایی و بیولوژیکی دریا قرار می‌گیرد که روند فیزیکی-شیمیایی آن عبارت است از تشکیل لکه، حل شدن در آب، تبخیر، تشکیل پلیمر، اموله شدن به صورت امولسیون<sup>۲</sup> آب در نفت و یا نفت در آب، فتو اکسیداسیون، تجزیه میکروبی، رسوب کردن، مصرف پلانکتون‌ها و تشکیل مواد و تکه‌های جامد. مجموع این روند را باد خوردن یا هوا خوردن نفت<sup>۳</sup> می‌گویند. انحلال، یک عامل بسیار مهم در مطالعات پخش لکه نفت است. اکثر اجزای محلول نفت معمولاً سمی هستند [۱].

پس از نشت نفت در دریا، لکه نفتی تحت تأثیر نیروی باد و امواج پخش شده، با کاهش ضخامت و افزایش نرخ تبخیر مواجه می‌شود و به تدریج بر میزان لزجت نفت افزوده می‌شود. همچنین اعمال فتوشیمیایی موجب تغییر خواص نفت و کاهش تجزیه بیولوژیکی آن می‌گردد. انتقال نفت نشست یافته اصولاً بر پایه عوامل زیر استوار است

۱- پخش لکه نفتی بر اثر نیروهای ثقل، اینرسی، لزجت و کشش سطحی  
۲- انتقال خالص و پخش آشفتگی افقی ناشی از جریان آب و باد

<sup>1</sup> Ballast

<sup>2</sup> Emulsification

<sup>3</sup> Weathering

<sup>4</sup> Tkalich

<sup>5</sup> Chao

<sup>6</sup> Eulery

<sup>7</sup> Chan

<sup>8</sup> Multiphase Oil Spill Model (MOSM)

<sup>9</sup> Perianez

<sup>10</sup> Particle-Tracking

<sup>11</sup> Gibraltar

<sup>12</sup> Wang et al.

<sup>13</sup> Random Walk Technique

<sup>14</sup> Eulerian Lagrangian

سرعت باد،  $C_{Chezy}$  ضریب زبری شزی و  $C_w$  ضریب اصطکاک ناشی از باد است.

### ۳- دینامیک لکه نفتی

هنگامی که مایع نفتی روی سطح دریا ریخته می‌شود، به شکل یک لایه نازک<sup>۵</sup> پخش می‌گردد. حرکت لکه نفتی تابع عوامل انتقال و پخش است که در اثر جریان، امواج و باد به وجود می‌آیند. گسترش لکه نفت روی سطح آب تا زمانی که ترکیب نفت از زمان اولیه نشت تغییر کند، در اثر توازن بین نیروهای ثقل، لزحت (ویسکوزیته) و کشش سطحی ایجاد می‌شود. قسمت‌های فرآرتبخیر می‌شوند، اجزای قابل حل در آب، در ستون آب حل می‌شوند و اجزاء غیرقابل حل به شکل قطرات کوچک در ستون آب معلق شده و پراکنده می‌شوند، بخش اعظم مواد نفتی نشت یافته، بر اثر نیروهای جاذبه و کشش سطحی در سطح آبهای آرام دریا پخش می‌شوند. نیروی جاذبه پس از گذشت زمان کوتاهی در مقابل نیروی کشش سطحی قابل چشم‌پوشی بوده و عمل پخش تا زمانی که لزحت بر نیروی پخش فائق آید، ادامه می‌یابد. اثر کشش سطحی در پخش نفت مهم است و به علت اختلاف بین کشش‌های لایه مرزی "نفت - هوا" و "نفت - آب" صورت می‌گیرد. مدل ریزش نفتی چند فازه MOSM<sup>۶</sup>. دینامیک نفت را در محیط زیست دریا با استفاده از رابطه<sup>۷</sup> شبیه‌سازی می‌کند. در هر گام زمانی بعد از تلفیق تبخیر و امولسیون نفت، حجم نفت نشت کرده باقیمانده روی سطح آب را می‌توان به دست آورد.

$$\frac{\partial S}{\partial t} + \bar{\nabla}(S\bar{v}) - \bar{\nabla}(D\bar{\nabla}S) = R_{Sink} \quad (4)$$

که در آن

$S$  خامت لکه نفتی،  $\bar{v} = (u_x + \tau_x / f, u_y + \tau_y / f)$  سرعت رانش لکه نفتی،  $\bar{W} = (W_x, W_y)$  سرعت باد،  $D = gS^2(\rho - \rho_{oil})/\rho f$  تابع گسترش لکه نفتی،  $f$  ضریب اصطکاک "فیلم نازک نفت - سطح آب"،  $g$  شتاب جاذبه،  $\rho_{oil}$  چگالی آب،  $\tau$  فرایندهای فیزیکی و شیمیایی است. رابطه بالا حرکت لکه نفتی را تشریح می‌کند و از معادلات ناویر-استوکس میانگین‌گیری شده در ضخامت لکه مشتق شده است. جمله دوم رابطه، رانش افقی لکه را معین می‌کند که وابسته به ترکیب اثرات باد و جریان سطح آب است. جمله سوم رابطه، گسترش لکه در اثر نیروهای لزحت - جاذبه را نشان می‌دهد.

<sup>5</sup> Oil Slick

قسمت سواحل دیده شد. در این مطالعه دقت مسئله از درجه چهار فرض شد. ماتریس ضرایب به صورت پنج قطری<sup>۱</sup> بود و در حل آن از روش خاصی به نام KPENTA استفاده شد. در موارد مشابه که دقت مسئله از درجه چهار فرض می‌شود، ماتریس به دست آمده از روش‌های حذفی حل می‌شود که زمان محاسبات بهشدت افزایش می‌دهد.

### ۲- هیدرودینامیک جریان

به منظور پیش‌بینی حرکت، گسترش و پخش لکه نفتی و آثار کیفی آن در آب، مدل‌سازی عددی دوبعدی میانگین‌گیری شده در عمق<sup>۲</sup> با استفاده از روش احجام محدود بهطور ضمنی با جهت متناسب<sup>۳</sup> مورد استفاده قرار گرفت. در آبهای کم عمق، تغییرات قائم کمیتهای جریان بسیار جزئی است، بنابراین می‌توان از معادلات اندازه حرکت و پیوستگی در عمق، متوسط‌گیری نمود. در این شرایط فقط توزیع افقی کمیتهای متوسط‌گیری شده در عمق تعیین می‌شوند [۸]

$$\frac{\partial \eta}{\partial t} + \frac{\partial(HU)}{\partial x} + \frac{\partial(HV)}{\partial y} = 0 \quad (1)$$

$$\begin{aligned} & \frac{\partial(HU)}{\partial t} + \frac{\partial(HU^2)}{\partial x} + \frac{\partial(HUV)}{\partial y} - \Omega HV + gH \frac{\partial \eta}{\partial x} \\ & - \frac{\rho_a}{\rho} C_w W_x \sqrt{W_x^2 + W_y^2} + \frac{gU}{C_{chezy}^2} \sqrt{U^2 + V^2} \end{aligned} \quad (2)$$

$$= v \left[ \frac{\partial}{\partial x} \left( 2 \frac{\partial HU}{\partial x} \right) + \frac{\partial}{\partial y} \left( \frac{\partial(HU)}{\partial y} + \frac{\partial(HV)}{\partial x} \right) \right]$$

$$\begin{aligned} & \frac{\partial(HV)}{\partial t} + \frac{\partial(HUV)}{\partial x} + \frac{\partial(HV^2)}{\partial y} + \Omega HU + gH \frac{\partial \eta}{\partial y} \\ & - \frac{\rho_a}{\rho} C_w W_y \sqrt{W_x^2 + W_y^2} + \frac{gV}{C_{chezy}^2} \sqrt{U^2 + V^2} \end{aligned} \quad (3)$$

$$= v \left[ \frac{\partial}{\partial x} \left( 2 \frac{\partial HV}{\partial y} \right) + \frac{\partial}{\partial x} \left( \frac{\partial(HU)}{\partial y} + \frac{\partial(HV)}{\partial x} \right) \right]$$

که در این روابط  $U$  و  $V$  سرعت آب میانگین‌گیری شده در عمق در جهت‌های  $x$  و  $y$ ،  $\eta$  جابجایی سطح آب بالای تراز میانگین دریا،  $H = h + \eta$  عمق کلی آب که در آن  $h$  عمق آب در زیر تراز سطح آب میانگین می‌باشد،  $\Omega$  پارامتر کوریولیس<sup>۴</sup>،  $\omega = 2\omega \sin \beta$  که  $\omega$  سرعت زاویه‌ای دورانی زمین و  $\beta$  عرض جغرافیایی است)،  $g$  شتاب ثقل،  $\rho$  چگالی آب،  $v$  لزحت گردابهای افقی،  $\rho_a$  چگالی هوا،  $W_x$  و  $W_y$  مؤلفه‌های

<sup>1</sup> Penta-Diagonal

<sup>2</sup> Depth-Average

<sup>3</sup> Alternating Direction Implicit

<sup>4</sup> Coriolis

(۱۲) افزایش لزجت در نتیجه تبخیر:

$$\frac{d\mu}{dt} = \mu C_\mu \frac{dF_e}{dt} + \frac{2.5\mu}{(1-C_F Y)^2} \frac{dY}{dt} \quad (13)$$

که در این روابط

$C_F$  آب در نفت،  $C_F$  کل کسر گنجایش آب ( $7/0$ ) نفت خام سنگین و  $25/0$  نفت سبک)،  $A_C$  لزجت نفت،  $A_G$  درصد گنجایش آسفالتین (ماده‌ای سخت مانند زغال سنگ که از تقطیر نفت خام باقی می‌ماند) و  $C_F$  نرخ زمان بازیافت نفت ( $1/15$  گازوئیل و  $15/0$  نفت خام سنگین) است.

#### ۴- گسته‌سازی معادلات جریان

در حل معادلات از الگوی ضمنی با جهت متناوب استفاده می‌شود (شکل ۱-الف). به این ترتیب که هر گام زمانی به دو نیم‌گام زمانی تقسیم می‌شود: در نیم‌گام زمانی اول مؤلفه سرعت در جهت محور  $x$  و عمق آب  $z$  به صورت ضمنی و بقیه متغیرها صریح، و در نیم‌گام زمانی دوم مؤلفه سرعت در جهت محور  $y$  و عمق آب  $z$  به صورت ضمنی و بقیه متغیرها صریح در نظر گرفته می‌شوند. در نیم‌گام زمانی اول، معادلات پیوستگی و اندازه حرکت در جهت  $x$  و در نیم‌گام زمانی دوم معادلات پیوستگی و اندازه حرکت در جهت  $y$  باهم حل می‌شوند [۱۱].

انتگرال‌گیری از معادلات پیوستگی و همچنین معادلات اندازه حرکت روی حجم کنترل دو بعدی، با استفاده از قضیه دیورژانس گوس<sup>۳</sup> اعمال شده است [۱۲]

$$\int_{CV} \frac{\partial \eta}{\partial t} dV + \int_{CV} \frac{\partial (HU)}{\partial x} dV + \int_{CV} \frac{\partial (HV)}{\partial y} dV = 0 \quad (14)$$

$$\int_{CV} \operatorname{div} \mathbf{a} dV = \int_S \mathbf{n} \cdot \mathbf{a} dS \quad (15)$$

$$\frac{\partial}{\partial t} \int_{CV} \eta dV + \int_S \mathbf{n} \cdot (HU) dS + \int_S \mathbf{n} \cdot (HV) dS = 0 \quad (16)$$

شبکه‌بندی استفاده شده در این مدل شبکه لغزان<sup>۴</sup> سازمان یافته بود. شکل ۱-ب، سرعت‌ها را دقیقاً در مکان‌هایی که نیاز به محاسبات انتقال اسکالار<sup>۵</sup> (جابجایی - نفوذ) دارند، تولید می‌کند. از این رو محاسبه سرعت‌ها نیازی به درون‌یابی در جووه سلول ندارند. در این شبکه‌بندی مقادیر اسکالار شامل ارتفاع سطح آب  $h$ ، ضخامت لکه و لزجت گردابه‌ای در مرکز سلول و عمق آب  $z$ ، سرعت  $u$  و  $v$  بر روی دیواره سلول تعریف می‌شوند [۱۳].

نخستین و مهم‌ترین تغییر ترکیبی بر روی نفت نشت شده روی آب، تبخیر است که تابعی از ویژگی‌های فیزیکی و شیمیایی نفت، شامل فشار بخار اشباع در دمای مورد نظر، وزن مولکولی مواد نفتی در فاز بخار، سرعت باد، امواج دریا، شدت تشعشع خورشیدی، درجه حرارت آب و ضخامت لکه است. تبخیر آب به شدت به رطوبت هوا و سرعت باد وابسته است. ماکائی در سال ۱۹۸۴، رابطه ۵ را برای نرخ تبخیر توسعه داد [۹]

$$F_e = \ln \left[ 1 + B \left( \frac{T_G}{T} \right) \theta \exp \left( A - B \frac{T_0}{T} \right) \right] \left[ \frac{T}{BT_G} \right] \quad (5)$$

$$\theta = \frac{K_2 A_s t}{V_0} \quad (6)$$

$$K_2 = 0.0292 U_{wind}^{0.78} D^{-0.11} S_c^{-0.67} \quad (7)$$

$$\frac{dF_e}{dt} = \frac{K_2 A_s}{V_0} \exp \left( A - \frac{B}{T} (T_0 + T_G F_e) \right) \quad (8)$$

که در این رابطه  $F_e$  نرخ تبخیر،  $A$  و  $B$  مقادیر  $6/3$  و  $10/3$  گرادیان نقطه جوش،  $T$  دمای محیط،  $T_0$  دمای جوش اولیه در  $F_e$  برابر صفر،  $A_s$  سطح لکه،  $V_0$  حجم اولیه لکه،  $K_2$  ضریب انتقال جرم (m.s.<sup>-1</sup>),  $U_{wind}$  سرعت باد (m/s),  $D$  قطر لکه نفتی (m) و  $S_c$  عدد اشمتی<sup>۶</sup> برابر  $2/7$  است که نمایانگر زبری سطحی است.

چنانچه دریا به هنگام نشت نفت متلاطم باشد، نفت به ذرات کوچک تقسیم شده و تا اعماق آب پراکنده می‌شود. این ذرات نتیجه تداخل لایه سطحی نفت در دریا بر اثر حرکت امواج و جریان‌های آبی هستند. تشکیل امولسیون نفت در آب، صفات و خصوصیات نفت را به شدت تغییر می‌دهد. قابل توجه است که لزجت معمولاً تا چند برابر افزایش پیدا می‌کند. این افزایش لزجت، مایع نفتی را به یک ماده سنگین و شبه جامد تبدیل می‌کند که خصوصیات غیرنیوتی از خود نشان می‌دهد. این مواد که به خامه شکلاتی یخ‌زده<sup>۷</sup> موسومند، ممکن است به صورت ذرات جامد مدتها بر روی آب پایدار بمانند. ماکائی در سال ۱۹۸۰ رابطه ۶ این امولسیون و در نتیجه تغییر در لزجت ارائه کرده است [۱۰]

$$\frac{dY}{dt} = 2 \times 10^{-6} (U_{wind} + 1)^2 \left( 1 - \frac{Y}{C_F} \right) \quad (9)$$

$$\mu_0 = 224 A_c^{0.5} \quad (10)$$

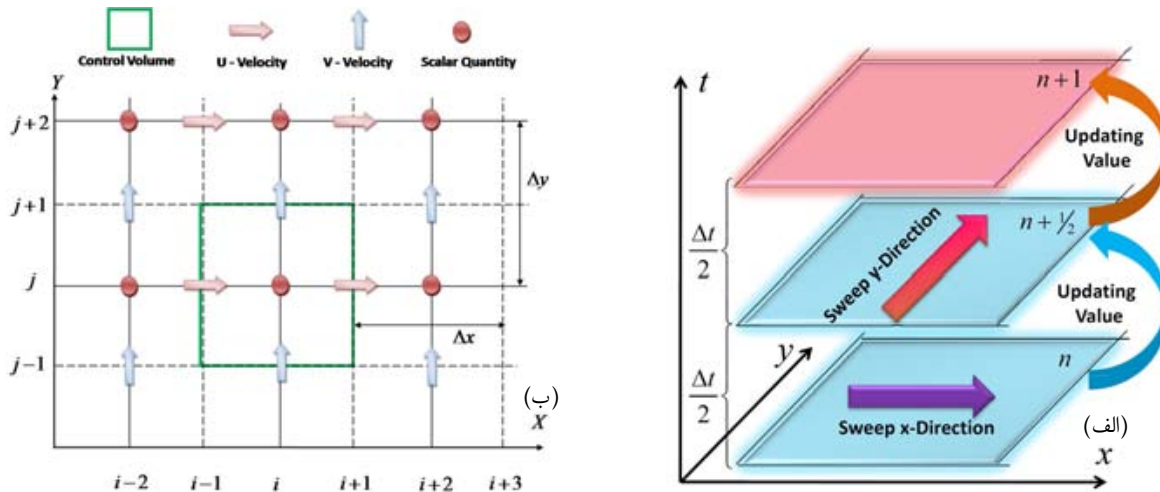
(۱۱) افزایش لزجت در نتیجه امولسیون:

$$\mu = \mu_0 \exp \left( \frac{2.5Y}{1 - C_F Y} \right)$$

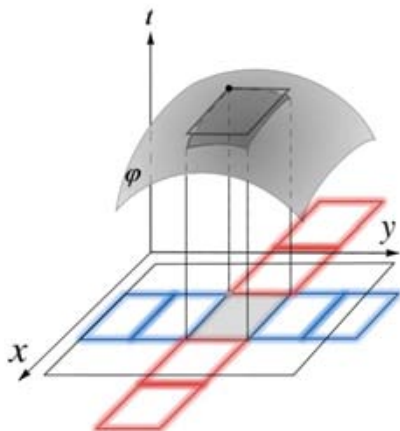
<sup>1</sup> Schmidt

<sup>2</sup> Chocolate Mousse

<sup>3</sup>Gauss Divergence  
<sup>4</sup> Staggered Grid  
<sup>5</sup> Scalar



شکل ۱- گامهای اول و دوم در روش ADI (الف) و شبکه محاسباتی دو بعدی لغزان (ب)



شکل ۲- رویه درجه ۴

##### ۵- حل دستگاه معادلات جریان

در روش حل ضمنی با جهت متناوب، هر گام زمانی به دو نیم گام زمانی تقسیم می شود که در نیم گام زمانی اول هر ردیف از سلول های محاسباتی موازی با محور  $x$  تشکیل یک دستگاه معادلات را می دهد. با محاسبه مجهولات مربوط به هر ردیف محاسباتی و جاروب کردن<sup>۲</sup> ردیفهای محاسباتی از پایین به بالا و انجام عملیات تکرار به منظور همگرا شدن جواب معادلات- به دلیل غیر خطی بودن معادلات هیدرودینامیک- نیم گام زمانی اول به پایان می رسد. مشابه با آنچه که برای نیم گام زمانی اول بیان شد، در نیم گام زمانی دوم، ستون های محاسباتی درجهت  $y$  حل می گردند. معادلات اندازه حرکت و پیوستگی درجهت  $x$  برای نیم گام زمانی اول به صورت کوپل به شکل زیر نوشته می شود

براساس حجم کنترل تعریف شده، رابطه گیسته شده اندازه حرکت، با تعریف شدت جریان در واحد عرض به شکل  $p = uh$  و  $q = vh$  در نیم گام زمانی اول به صورت زیر نمایش داده می شود. مقدار صریح  $\hat{u}$ ،  $\hat{v}$  و  $\hat{q}$  با استفاده از عملیات تکرار زمانی تصحیح می شوند.

$$(17)$$

$$\begin{aligned} & \frac{p_{i+1,j}^{n+1/2} - p_{i+1,j}^n}{\Delta t/2} + \beta \left[ \frac{\hat{u}^n p_{i+1,j}^{n+1/2} - \hat{u}^n p_{i-1,j}^{n+1/2}}{\Delta x} + \frac{v^n \hat{p}_{i+1,j+1}^n - v^n \hat{p}_{i+1,j-1}^n}{\Delta y} \right] \\ & \frac{2\mu^{-n}}{\rho} \left[ \frac{(p_{i+3,j}^{n+1/2} - 2p_{i+1,j}^{n+1/2} + p_{i-1,j}^{n+1/2})}{\Delta x^2} + \frac{(q_{i+2,j+1}^n - q_{i,j+1}^n) - (q_{i+2,j-1}^n - q_{i,j-1}^n)}{2\Delta x \Delta y} + \right. \\ & \left. \frac{(\hat{p}_{i+1,j+2}^n - 2\hat{p}_{i+1,j+1}^n + \hat{p}_{i+1,j-2}^n)}{2\Delta y^2} \right] = f q_{i+1,j}^{-n} - q h_{i+1,j}^n \frac{\eta_{i+2,j}^{n+1/2} - \eta_{i,j}^{n+1/2}}{\Delta x} + \\ & C_w \frac{\rho_a}{\rho} \sqrt{W} \cos \theta - g p_{i+1,j}^{n+1/2} \frac{\sqrt{(\hat{p}_{i+1,j}^n)^2 + (q_{i+1,j}^n)^2}}{(h_{i+1,j}^n C_{dezy_{i+1,j}^n})^2} \end{aligned}$$

برای محاسبه مقادیر متوسط اسکالر  $h$ ،  $u$  و  $v$  با فرض تغییرات درجه چهار در دو بعد، رویه  $\phi$ <sup>۱</sup> مطابق شکل ۲ به صورت رابطه ۱۸ تعریف می گردد. این مقادیر با انتگرال گیری در بازه موردنظر محاسبه می شوند [۱۴].

$$(18)$$

$$\varphi_{i,j} = a_x x^4 + b_x x^3 + c_x x^2 + d_x x + a_y y^4 + b_y y^3 + c_y y^2 + d_y y + e \quad (19)$$

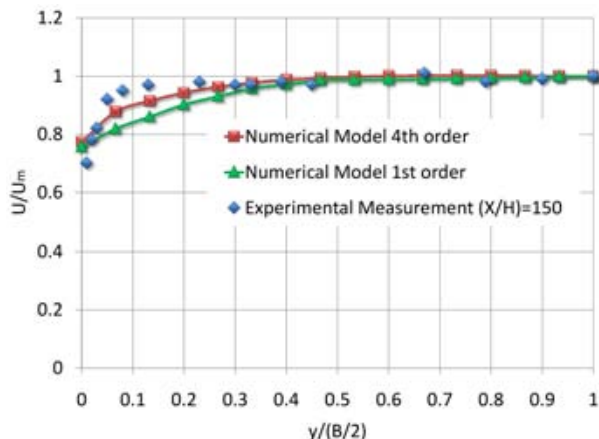
$$v_{i+1,j+1}^{u>0} = \frac{1}{2\Delta x} \int_{-\Delta x/2}^{3\Delta x/2} (\tilde{v}_{i,j+1})_{@y=0} dx \quad u_{i+1,j+1} > 0$$

<sup>1</sup> Shape Function

<sup>2</sup> Sweep

۳۰۵ متر استفاده شده است. برای اعمال شرایط اولیه، عمق ۳۰۵ متر و سرعت طولی و عرضی برابر با صفر در هر یکنواخت ۳۰۵ متر و سرعت طولی و عرضی برابر با صفر در هر شبکه در نظر گرفته شده اند. در شرایط مرزی باز بالا دست سرعت طولی برابر با ۱۵۲ متر در ثانیه و سرعت عرضی برابر با صفر در نظر گرفته شده اند. در شرایط مرزی باز پایین دست گرادیان سرعت و عمق مساوی صفر در نظر گرفته شده اند.

شکل ۳ نتایج محاسبات مدل را در مقایسه با اندازه‌گیری‌های آزمایشگاهی گسترش یکنواخت جریان در کanal مستقیم نشان می‌دهد. در این شکل محور قائم، نسبت اندازه سرعت موازی با طول کanal را به اندازه سرعت در وسط کanal و محور افقی، نسبت فاصله مکانی را نشان می‌دهند. نتایج محاسبات با استفاده از الگوی درجه چهارم تطبیق بهتری را نشان می‌دهد.



شكل ۳- نمودار توزیع سرعت در عرض کanal با جریان دائمی

#### ۷- صحت سنجی مدل پخش و گسترش لکه نفتی

به منظور بررسی رفتار لکه نفت تحت شرایط کنترل شده و صحت سنجی مدل، بورتوبک<sup>۳</sup> در سال ۱۹۹۲ در آزمایشگاه هیدرولیک دانشکده مهندسی عمران دانشگاه سالفورد انگلستان خواص پوشیده ای ساخته است [۱۸]. این خواص با ابعاد  $7/24 \times 3/5$  متر تشکیل شده است. امواج منظم در انتهای خواص پوشیده توسط پدال پیستونی به وجود می آید. امواج منظم تولید شده دارای دوره تناوب  $1/29$  ثانیه و ارتفاع  $0/098$  متر هستند. درست مدت دیگر، انرژی این امواج در ساحل با شیب  $3/75$  مستهلك می شود. به عبارتی آب، سطحی معادل  $5 \times 3/5$  متر را می پوشاند. برای اطمینان از لغوی چرخش آب در خواص، کف آن به شکل نیم پی یو یوس سینوسی مطابق

3 Borthwick

(20)

$$\begin{aligned} a_i U_{i-1/2}^{n+1/2} + b_i \eta_i^{n+1/2} + c_i U_{i+1/2}^{n+1/2} &= C_i^n \quad (i=1,2,3,\dots,n) \\ d_i U_{i-1/2}^{n+1/2} + e_i \eta_i^{n+1/2} + f_i U_{i+1/2}^{n+1/2} + g_i \eta_{i+1}^{n+1/2} + h_i U_{i+3/2}^{n+1/2} &= M_i^n \end{aligned}$$

(i,1,2,3,...,n)

که در این روابط

و ۱۱ مجھولات دستگاه معادلات و مابقی معلوم هستند. دستگاه معادلات حاصل از جاروب کردن ردیفهای محاسباتی در جهت  $x$  برای نیم گام زمانی اول به صورت ماتریسی به شکل زیر در می‌آید:

$$\begin{array}{cccccc|cc|cc}
f_0 & g_0 & h_0 & 0 & 0 & 0 & U_1 & M_0 \\
a_2 & b_2 & c_2 & 0 & 0 & 0 & \eta_2 & C_2 \\
d_2 & e_2 & f_2 & g_2 & h_2 & 0 & U_3 & M_2 \\
0 & 0 & a_4 & b_4 & c_4 & 0 & \eta_4 & C_4 \\
0 & 0 & d_4 & e_4 & f_4 & g_4 & h_4 & 0 \\
& & 0 & 0 & \cdot & \cdot & 0 & 0 \\
& & 0 & \cdot & \cdot & \cdot & \cdot & 0 \\
& & 0 & 0 & \cdot & \cdot & 0 & 0 \\
& & 0 & \cdot & \cdot & \cdot & \cdot & 0 \\
& & 0 & 0 & \cdot & \cdot & 0 & 0 \\
& & 0 & \cdot & \cdot & \cdot & \cdot & 0 \\
& & 0 & 0 & \cdot & \cdot & 0 & 0 \\
& & 0 & \cdot & \cdot & \cdot & \cdot & 0 \\
& & 0 & 0 & \cdot & \cdot & 0 & 0 \\
& & 0 & \cdot & \cdot & \cdot & \cdot & 0 \\
& & 0 & 0 & a_{n-2} & b_{n-2} & c_{n-2} & 0 & 0 \\
& & 0 & d_{n-2} & e_{n-2} & f_{n-2} & g_{n-2} & h_{n-2} & 0 \\
0 & 0 & 0 & 0 & a_n & b_n & c_n & \eta_n & C_n \\
0 & 0 & 0 & 0 & d_n & e_n & f_n & p_{n+1} & M_n
\end{array}$$

دستگاه معادلات بالا از  $n+1$  معادله و  $n+1$  مجهول تشکیل شده است. ماتریس ضرایب به صورت پنج قطری بود و در حل آن از روش خاصی به نام KPENTA استفاده شد که در آن، ماتریس به شکل حاصل ضرب دو ماتریس پایین مثلثی و بالا مثلثی در می‌آید. این روش می‌تواند در حل ماتریس‌های شبیه پنج قطری هم به کار بود [۱۵].

۶- صحت سنجی، مدل هیدرودینامیک

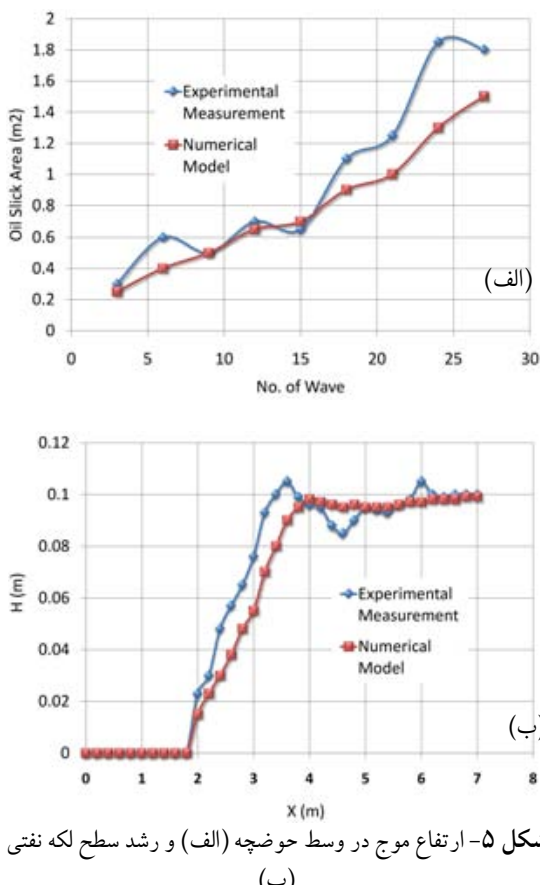
بخدمت ملکه سنجی مدل هیدرودینامیک و توضیح کاربردهای مدل توسعه داده شده از نتایج آزمایشگاهی گسترش یکنواخت جریان در کanal مستقیم استفاده شد. گونسووکی<sup>۱</sup> در سال ۱۹۷۸ سرعت متوسط را در طول یک کanal مستقیم برای جریان کاملاً توسعه یافته اندازه‌گیری نموده است [۱۶]. ردی<sup>۲</sup> در سال ۱۹۸۰ این داده‌ها را برای نسبت عرض کanal به عمق برابر با  $3^{\circ}$  با ضریب مانینگ  $0.29$  /۰ ارائه داده است [۱۷]. عمق آب و سرعت به ترتیب برابر با  $3.05$  /۰ متر و  $1.52$  /۰ متر بر ثانیه در نظر گرفته شده‌اند. به منظور شبیه‌سازی از  $200$  سلول در راستای طول کanal به طول  $3.05$  /۰ متر و از  $30$  سلول در راستای عرض، کanal به طول

1 Gonsowski

2 Rodi

شکل ۵-الف ارتفاع موج پیش‌بینی شده در حالت پایدار را به‌شکل تابعی از فاصله نشان می‌دهد. ارتباط معقولی بین داده‌های آزمایشگاهی و پیش‌بینی عددی وجود دارد، هر چند که شبیه‌سازی عددی ملايم‌تر است. در نزدیکی ساحل ارتفاع موج کمتر از مقدار اندازه‌گیری شده است که اساساً به دلیل انعکاس موج از ساحل آزمایشی است که در اثر آنتن نود، یک موج ایستا به‌شکل منطقه شکست موج است [۱۹].

شکل ۵-ب رشد سطح لکه نفتی را نشان می‌دهد. اختلاف کمی در مورد سطح لکه وجود دارد که به دلیل در نظر نگرفتن گسترش در اثر لرجهت - کشش سطحی در مدل عددی است و در لکه‌های کوچک اهمیت خود را نشان می‌دهد.



شکل ۵-ارتفاع موج در وسط حوضچه (الف) و رشد سطح لکه نفتی (ب)

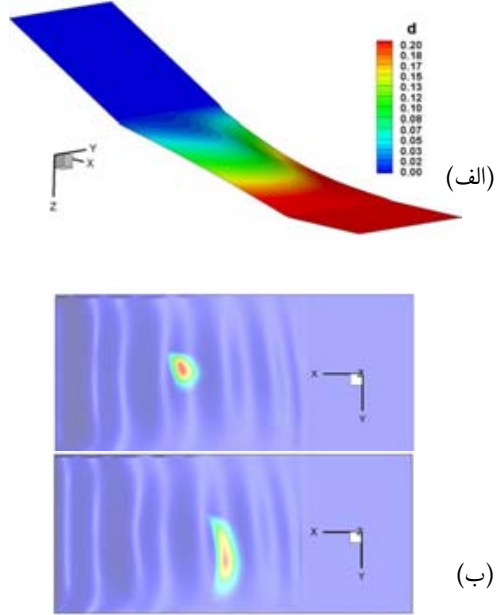
**۸-نتیجه‌گیری**  
به‌منظور مدل‌سازی جریان و پیش‌بینی حرکت و گسترش لکه نفتی در تحقیق حاضر، از معادلات دو بعدی میانگین‌گیری شده در عمق ناویر-استوکس استفاده شد. این معادلات به روش احجام محدود به‌طور ضمنی با جهت متناوب حل شدند. برای دستیابی به دقت‌های

شکل ۴-الف درآمده است. رابطه داسیلووا لیما<sup>۱</sup> برای طراحی کف به‌کار رفته است.

$$h(x, y) = s[x - 0.875 \sin(\pi x / 3.5) \sin(n\pi y / \lambda)] \quad (22)$$

که در آن

$s=0.0714$  شیب ساحل و  $\lambda=7$  ضریب فاصله شکاف بر حسب متر است. ساحل سینوسی به‌منظور استحکام توسط ورق الومینیومی با ضریب زبری  $0.037$  پوشیده شده است. مطابق شکل ۴-الف، عمیق‌ترین نقطه در سمت پدال برابر  $0.255$  متر بود و با حرکت به‌سمت ساحل، عمق کاهش می‌یافتد. نمونه نفت به‌کاررفته دارای چگالی معادل  $950$  کیلوگرم بر متر مکعب بود که برای فرض آنی بودن ریزش، از فاصله  $4$  سانتی‌متری در کمتر از  $1$  ثانیه تخلیه می‌گردید. لکه نفتی در فاصله  $3$  متری از ساحل و  $1/7$  متری از لبه حوضچه قرار گرفته و سطحی معادل  $0.1475$  متر مکعب را می‌پوشاند. موقعیت لکه در زمان‌های مختلف توسط دوربین ثبت می‌گردید. بررسی خروجی مدل نفتی به صورت ضخامت لکه نفت و حرکت آن در شکل ۴-ب نشان داده شده است. نتایج بدست آمده توافق خوبی بین نتایج آزمایشگاهی و مدل عددی را نشان داد. با این حال تفاوت‌هایی در چرخش وجود داشت. این تفاوت‌ها عمدتاً در اثر انعکاس موج<sup>۲</sup> ایجاد می‌شود که در مدل عددی منظور نشده است.



شکل ۴-عمق آب و خطوط هم‌تراز (الف) و حرکت چرخشی لکه نفتی (ب)

<sup>1</sup> Da Silva- Lima

<sup>2</sup> Reflection

## ۹- پیشنهادها

توصیه می شود یک مدل آشفتگی میانگین‌گیری شده در عمق  $k=8$  به منظور محاسبه ضریب لزجت گردابهای در معادله اندازه حرکت به کار گرفته شود. این امر به تخمین های بهتری برای اختلاط موضعی و پیش‌بینی صحیح تر جریان های ثانوی در مدل ضمنی منتهی می شود. همچنین پیشنهاد می شود اثر امواج بر یکدیگر توسعه روابطی نظری کوپلند<sup>1</sup> که براساس معادلات شبیه ملایم، انکاس و تفرق<sup>2</sup> را به خوبی انکسار<sup>3</sup> مدل می کنند، بررسی شود. به علاوه برای دستیابی به دقت های بیشتر، گسترش لکه نفتی در فاز لزجت - کشش سطحی نیز در نظر گرفته شود.

بالاتر، مقادیر متوسط اسکالر در هر سلول با فرض تغییرات آن بر اساس تابع شکل یک چندجمله‌ای درجه چهار تخمین زده شد. در حل ماتریس ضرایب دستگاه معادلات حاصله که به صورت پنج قطری بود از روش خاصی به نام KPENTA استفاده شد. با استفاده از این مدل رفتار لکه نفت تحت شرایط کنترل شده نزدیک ساحل در مقیاس کوچک مقایسه شد. اختلاف موجود بین داده های آزمایشگاهی و نتایج مدل بیشتر در اثر انعکاس موج در ساحل نفوذ ناپذیر و هموار است که در مدل حاضر شبیه سازی نشد. این اختلاف در سواحل شنی و ماسه ای که محدودیت جانبی ندارند، کاهش می یابد.

<sup>1</sup> Copeland

<sup>2</sup> Diffraction

<sup>3</sup> Refraction

## ۱۰- مراجع

- 1- ASCE. (1996). *State-of-the-art review of modeling transport and fate of oil spills*, American Society of Civil Eng., USA.
- 2- Fay, J.A. (1969). "The spread of oil slick on a calm sea." Hoult, D.P. (Eds.), *Oil on the sea*, Plenum Press, New York.
- 3- Thalich, P., and Chao, X. B. (2001). "Accurate simulation of oil slicks." *Proceeding of the International Oil Spill Conference*, Florida, 26-29.
- 4- Thalich, P., and Chan, E.S. (2002). "Vertical mixing of oil droplets breaking waves." *Marine Pollution Bulletin*, 44 (11), 1219-1229.
- 5- Tkalich, P. (2006). "A CFD solution of oil spill problems." *Elsevier J. Environ. Modeling and Software*, 21, 271-282.
- 6- Perianez, R. (2007). "Chemical and oil spill rapid response modeling in the strait of Gibraltar." *Elsevier Journal*, 207, 210-222.
- 7- Wang, S., and Shen, Y. (2008). "Three-dimensional numerical simulation for transport of oil spills in seas." *Elsevier J. Ocean Eng.*, 35, 503-510.
- 8- Falconer, R. A. (1999). *Divast model reference manual*, User Manual, Cardiff University, Walks, U.K.
- 9- Mackay, D. (1984). "Evaporation rates of spills of hydrocarbons and petroleum mixtures." *Environ. Sci.*, 18 (11), 834-840.
- 10- Mackay, D. (1980). *Oil spill processes and models*, Environmental Protection Service Pub., Canada.
- 11- Copeland, G. J. M. (1985). "Practical radiation stress calculations in the connected with equations of wave propagation." *Coastal Eng.*, 3, 195-219.
- 12- Hirsch, Ch. (2007). *Numerical computation of internal and external flows*, 2<sup>nd</sup> Ed., Elsevier, U.K.
- 13- Sarhadi Zadeh, E., and Hejazi, K. (2009). "Development of a high accurate numerical model for oil slicks transport using finite volume method." *2<sup>nd</sup> International Symposium on Environmental Engineering (ISOEE)*, KNTU, Tehran, Iran.
- 14- Ferziger, J. H., and Peric, M. (2002). *Computational method for fluid dynamic*, 3<sup>rd</sup> Ed., Springer Pub., New York.
- 15- Karawia, A.A. (2006). "A computational algorithm for solving periodic penta-diagonal linear systems". *Elsevier J. Applied Mathematics and Computation*, 174, 613-618.
- 16- Hejazi, K. (2004). *3D modeling of flow and turbulence in stratified coastal zones*, Cardiff Uni., Wales, UK.
- 17- Rodi, W. (1984). *Turbulence models and their application in hydraulics*, IAHR Pub., Delft.
- 18- Borthwick, A. G., and Joynes S. (1992). "Laboratory study of oil slick subjected to nearshore circulation." *J. Environmental Eng.*, 118 (6), 905-923.
- 19- Dean, R.G., and Dalrymple, R.A. (1998). *Water wave mechanics for engineers and scientists*, World Scientific, Singapore.